

II-146 北上川電算システムにおける治水統合管理について

東北地方建設局 正員 ○ 斎藤正勝
東北地方建設局 正員 川上 隆

1. まえがき

北上川(図-1)では、洪水予報とダム群の統合管理を目的として、電子計算機を主体とするシステム化の検討がすゝめられてきた。今まで降雨・水位資料の収集、流出・河道追跡等の推算については一応の体系が整い、実際にいくつかの洪水にも適用され、その実用性が立証されていふ。

上述の目的を完全に満足せしむるに残されていふ今後の課題は主として降雨の予測とダム群の最適操作の手法である。現状のシステムにおいても、試算的に多くの計算を実施することにより、その目的を達成し得るが、より効率的かつ機械的に解を得ることができれば、現システムの一戸の活用が圖れうわけである。

本研究では、この主旨に沿って実績洪水の分析を主体に北上川における洪水の特性を把握し、治水統合管理への適用を試みたものである。

2. 降雨時間分布の予測

数多くのパラメータに起因していふ非常に複雑な降雨の時間分布形状を一般的な数式にのせるような試みは、現状では極めて難解かつ困難なことであろう。そこで著者らは、基準地図の洪水流量との対応関係を考慮しつゝ、北上川で適用可能な分布形状を既往洪水資料より求めることにより予測への適用を図ることとした。

既往の46降雨(大正13年～昭和44年)について、降雨ピーク出現時(t_p)までの累加雨量を総雨量との比率で示し、分類すると図-2のようになり、 t_p までに総雨量の約70%以上が含まれることが分る。そこで分布形状検討の終端を t_p とし、始端は狐禅 $1/1000$ と基準地図流量を支配する時間雨量により定めた。 Q_p は、 $1/1 \sim 15$ 時間雨量(降雨のピークより、それ以前 $1/1, 1/2, \dots, 1/15$ 時間前までに含まれる雨量)と狐禅 Q_m との相関を上述46洪水の解析により求め、相関の最も良好な時間雨量を求めた。結果は14時間雨量を採用することとした。次に、以上により定めた基準流量に最も支配的であると考えられる

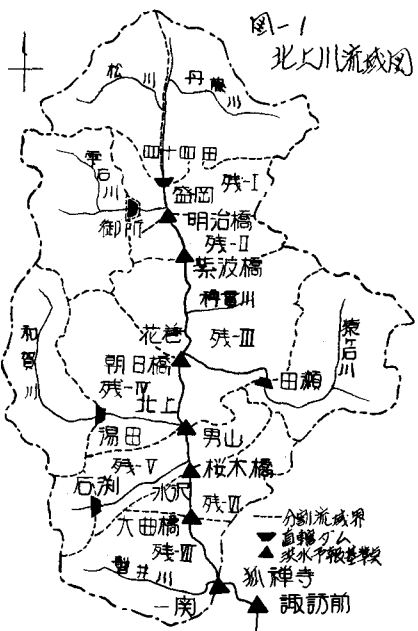


図-1 北上川流域

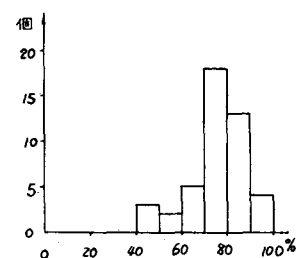


図-2 $\frac{t_p}{t_e}$ ヒストグラム

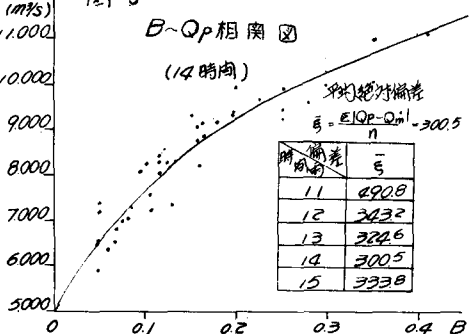


図-3 t_p/t_e ~ Q_p 相関図

時間内雨量の分布について函数表示を試みた。その結果 (1) 式のような形で表わすことが実績との適合性、指標としての利用性等の面から最も優秀であると考えた。

$$Y = A e^{Bt} \quad \text{--- (1)}$$

ここで、 Y : 累

加雨量の % であり

t : 時間、 A 及び

B : 係数である。

図-4 は (1) 式の表示と実績値との適合度を示す。

また、図-3 における (1) 式における指

数 B と狐禅寺 Q_{pt} の相関度を示す。

次に、最大降雨強度 X_3 、その出現時間 X_2 について昭

和 30 年以降の資料 (20 ~ 30 年) により、各分割流域毎に相関関係により検討した。その結果の一例を図-5 に示す。図-5 で Y は総雨量、 X_1 は降雨継続時間である。

以上の検討により、時間分布の予測は、主要部分を (1) 式により他の部分を一次式で仮定することにより図-6 に示す模式図のように求むことができる。図-6 で定数 A 、 B は次の関係により求まる。 $X_3 = A e^{B(X_2-14)}$ --- (2)

総雨量の関係より $Y = \frac{1}{2}(X_2-14)A + \int_{14}^{X_2} A e^{Bt} dt + \frac{1}{2} X_3 (X_1 - X_2)$

$$\text{即ち}, Y/X_3 = \frac{1}{2} - (\frac{1}{2} - X_2/2 + 7) e^{-14B} + \frac{1}{2} (X_1 - X_2) \quad \text{--- (3)}$$

以上による推算の一例を図-7 に示す。ダム流域等、降雨資料の比較的整い場合にはその適合性は良好である。

3. ダム群の最適操作

1) 最適操作の目標

改修の進んでいない北上川では洪水制御の対象地区は各所に散在しているが、将来を含めて考えると狭く部直上流に位置する一の閑地区がそのポイントとなる。本地区は、現在ほとんど堤防状態であり、中小洪水によつても氾濫状態を呈している。そこで、検討対象地区を本地区に定め、洪水調節と被害の関係について若干の検討を行つた。大曲橋～狐禅寺間について、大曲橋基準点の水位を基準に水位相関を利用して氾濫域を求める、全被害面積の 8 割に及ぶ程の被害について、冠水深別(冠水

図-4 時間分布率の累積曲線
($y = A e^{Bt}$)

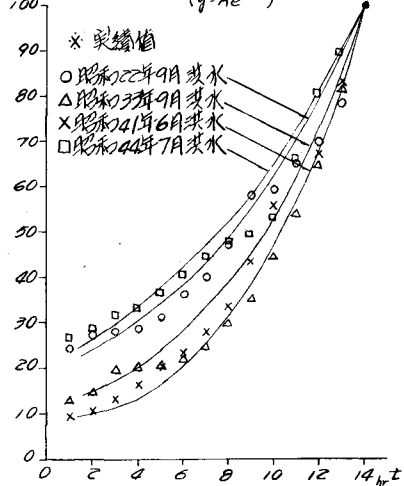


図-5 Y 、 X_1 、 X_2 、 X_3 の相関 (石淵流域)

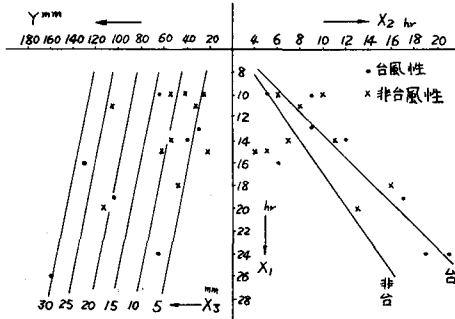


図-6 降雨時間分布モデル

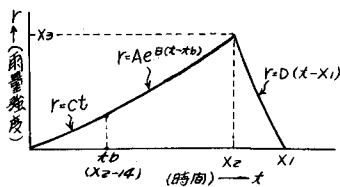
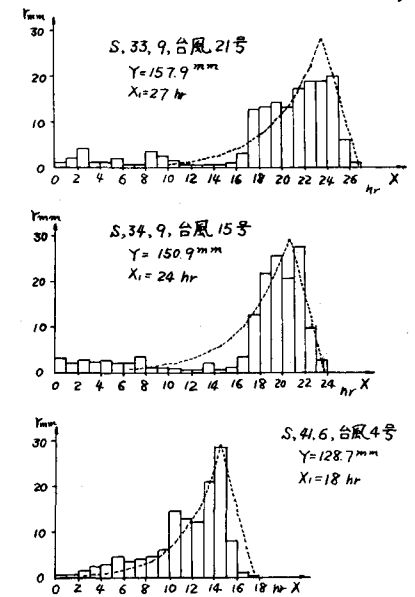


図-7 時間分布推算例 (石淵流域)



、葉先露出）、時期別（分けつ期、幼穗形成期等）を考慮して被害額を算定した。その結果、基準洪水位（H）と氾濫域内収容額の関係は、図-8に示すように片対数紙では、直線に表わしえるところが分った。また減収率と冠水時間（T）の関係も、もはや一次式で表わせることから、結局、被害額（D）とH、Tの関係は次式で表すことができる。

$$D = (\log H + a) \cdot (T + b) \quad \text{--- (4)}$$

こゝに a , b は時期別により異なる定数。

基準洪水形の調節に際して、互に相反する関係にある H 及び T の減少について、(4)式により基本的な数種の波形（基準洪水）について検討を行つた結果、通常不可能なような極端な T の短縮（例えは、調節前の T の4割程度）を図りながら限りは H の低減にウェートをおく方が得策であることが分った。従つて、最適操作の目標はピーク水位の低減、操作すればピーク流量の低減にその目標をおくるものとする。

2) ダム群の最適操作

北上川における洪水パターンとして、過去の代表的な洪水10例（表-1）を選び、図-1の流域分割に従つて、対象基準洪水を孤擣寺として次のようないくつかの検討を行つた。Ⅰ. 各分割流域の基準洪水への効果（ピーク流量の低減）。Ⅱ. ダム流域の

表-1 検討対象洪水

単位: m³/s

基準洪水への面的な効果（基準洪水ハイドログラフの制御対象部への量的な影響）。Ⅲ. 各ダムの操作と基準地表ピーク流量の最大低減。

Ⅰについて、ある洪水に対する全流域による基準地表ピーク

洪水名	降雨原因	流域分布 VSの分類	孤擣寺ピーク流量 (m ³ /s)
M43年9月	低気圧	上流部集中	5,900
T2年8月	台風	上中流部	5,000
T9年8月	低気圧	前線移動	5,200
S22年9月	台風	全流域平均	7,900
S23年9月	台風	"	7,600
S20年6月	低気圧	中流部集中	3,900
S32年9月	台風	上中流部	4,600
S20年7月	前線	中流部集中	3,100
S21年6月	台風	上中流部	3,300
S44年7月	前線	前線移動	3,300

流量 (Q_p)、流域を全量調節と仮定した場合の基準地表ピーク流量 (Q_{pi}) とし、 $\Delta Q_{pe} = (Q_p - Q_{pi})$ を各流域の基準地表への単独効果とし、これを各洪水、各流域について求め、単位流域当たりで示したもののが図-9である。非常に集中性の高い洪水（昭和30年6月洪水等）を除いては、降雨パターンⅠによると基準地表への各流域の効果は比較的変動

が少く、両端流域を除いては、ほゞ同様な効果を有するところが分る。

Ⅱについて、図-10の模式図のよう

に残流域で構成される基準地表ピーク流量 Q_{pe} より制御期間 T を定め、 Q_p を基準として前半、後半に区分して各々の区分に含まれる各ダムの面的な効果（図-10

図-8 基準洪水位へ氾濫区域内収容額

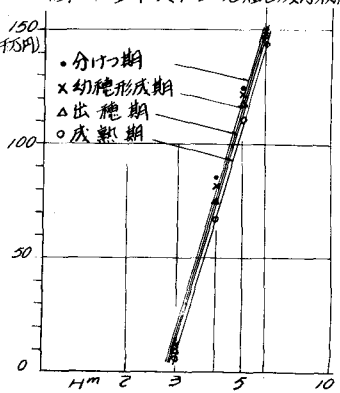


図-9 各分割流域の基準地表への効果
(ピーク流量の低減)

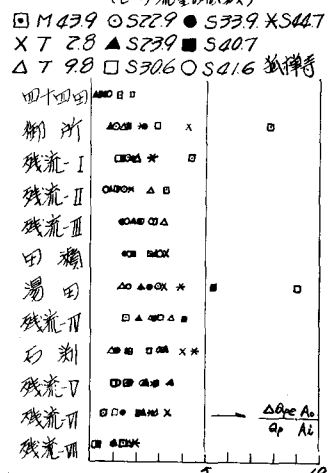
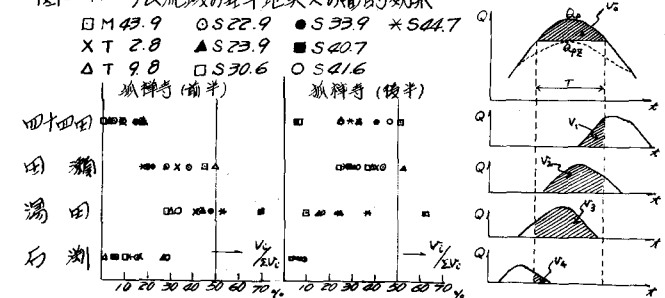


図-10 ダム流域の基準地表への面的な効果



斜線部) を図-10 のように求めた。この結果から、四十四田

表-2 基準波形とダム群調節量

ダムは基準波形の後半に効果があること、田瀬及び湯田ダムは全般的に効果が大であり、前者はや、後半に、後者は前半への効果が特に大きいこと、石淵ダムは全般的に効果が少なく、特に後半には、ほとんど影響しないこと等が分った。

ハについて、1 及び 2 回の定性的な検討結果をもとに試算により各洪水について各ダムの最適操作を検討した。この検討結果の一例を図-11 に示す。石淵ダムは治水容量も小さく、

洪水名	V ₀	V _i Σ V _i	計画規模		Σ V _i / V ₀
			調節容量 対初期比	操作回数	
M42年9月	45.6	95.3	0.72	2.1	
T2年8月	66.6	114.7	0.56	3.7	
T9年9月	53.0	83.8	0.15	1.6	
S22年9月	107.2	155.6	0.77	2.5	
S23年9月	106.6	169.5	0.84	1.6	
S30年6月	69.2	105.7	0.52	1.5	
S33年9月	41.0	78.1	0.38	1.9	
S40年7月	33.2	39.9	0.29	1.8	
S41年6月	26.8	51.9	0.25	1.9	
S40年7月	66.6	102.4	0.50	1.5	

また基準波への効果を他の図-11 ダム群の最適操作(ダム群波形と基準波形)
3 ダムに比較して少ないので容量
に見合った定量方式に固定
した。検討結果をまとめれば
次のようにある。

a. 四十四田ダムは 10 例中 9 例
とも図のよう A タイプで、
放流勾配は 50~100 %/hr である。

b. 田瀬ダムは 10 例中 8 例が
A タイプで放流勾配 50~150 %/hr,
2 例は B タイプである。

c. 湯田ダムは 10 例中 5 例
が C タイプ、3 例が B,
2 例が A タイプである。

d. 基準波形における
調節量 V_i に対し、要する 3 ダム
群の調節量 V_i は、表-2 の
ように、 $\Sigma V_i = (1.5 \sim 2.0) V_0$ で
ある。以上により、次の手順
で試算をする。Q_p, Q_{p2} を求め、
T, V₀ を定め、d_i により Σ V_i を
求めよ。次に T における各ダム
の面的効果を求め、この比率
で Σ V_i を各ダムに配分する。配

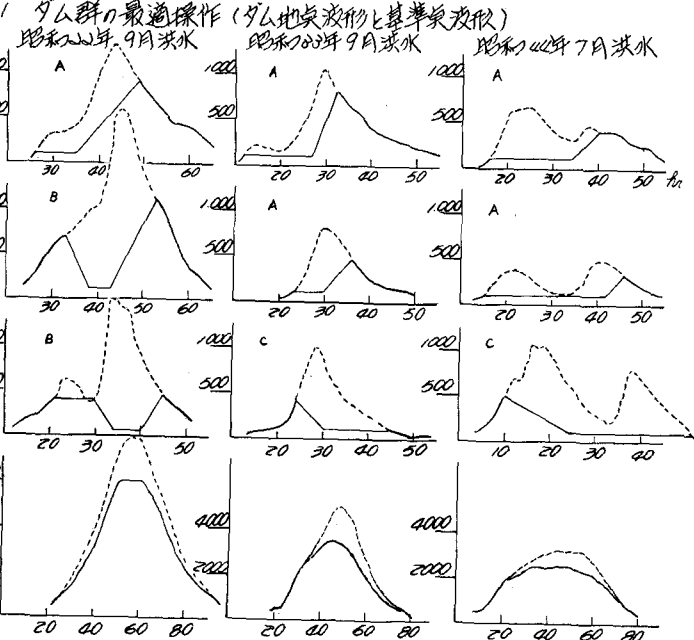
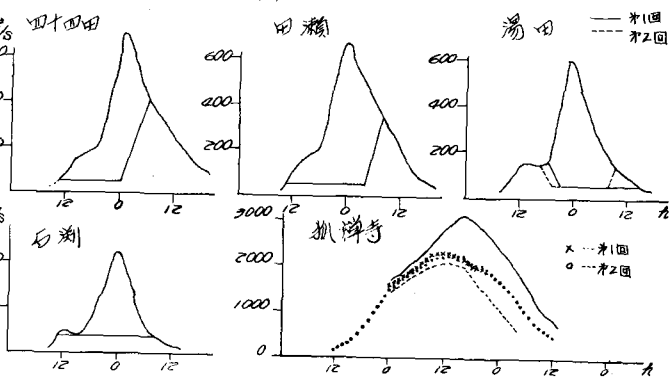


図-11 ダム群最適操作の計算例



分して V_i で四十四田は A タイプ、石淵は一定量、田瀬、湯田は A と C タイプを基とし、V_i が計画規模の 6割以上となる場合にのみ B タイプで操作する。以上の方法により任意に作成したモデル洪水での試算(図-12)によれば、1 回の試算で、その目的がほぼ達成されていい。